

### *Список літератури*

1. Хохлов, Р. Универсальный солдат [Текст] / Р. Хохлов // Ресторанные ведомости. – 2007. – № 9. – С. 74–78.
2. Хохлов, Р. Ювелирная работа [Текст] / Р. Хохлов // Ресторанные ведомости. – 2007. – № 11. – С. 70–72.
3. Ресторанный бизнес. Как открыть и успешно управлять рестораном [Текст] : [пер. с англ.]. – М. : Рос. Консульт, 1999. – 272 с.
4. Ридель, Х. Бары и рестораны. Техника обслуживания [Текст] / Х. Ридель. – Ростов-на-Дону : Феникс, 2002. – 352 с.
5. Дейниченко, Г. В. Оборудование предприятий питания [Текст] : справочник : в 3 т. / Г. В. Дейниченко, В. А. Ефимова, Г. М. Постнов. – Харьков : Мир техники и технологий, 2005. – 456 с.

Отримано 15.03.2009. ХДУХТ, Харків.

© Т.П. Кононенко, В.О. Єфімова, І.В. Золотухіна, 2009.

УДК 536.3

**С.М. Костенко, ст. викл.**

## **РЕФЛЕКТОР ДЛЯ ВСЕБІЧНОГО РІВНОМІРНОГО ОПРОМІНЕННЯ ПРИЙМАЧА НАПІВЕЛІПТИЧНОГО ПЕРЕРІЗУ**

*Розглянуто двовимірну задачу про визначення форми фрагментованого рефлектора для рівномірного нагрівання горішньої та нижньої поверхонь приймача напівеліптичного перерізу.*

*Рассмотрена двумерная задача об определении формы фрагментированного рефлектора для равномерного нагрева верхней и нижней поверхности приемника полуэллиптического сечения.*

*The two-dimensional task, as to the defining fragmental reflector form, when the receiver top surface with the half-elliptical form of profile and bottom plane are under uniform heating, is studied.*

**Постановка проблеми у загальному вигляді.** Якісна та економна теплова обробка харчової продукції потребує обладнання, яке забезпечить рівномірну щільність променевого потоку на поверхні продукту, а також використання теплоти з мінімальними втратами.

**Аналіз останніх досліджень і публікацій.** У праці [1] отримано рівняння для визначення форми відбивача, який забезпечує рівномір-

ний розподіл теплоти на горішній поверхні приймача напівкруглої форми. У дослідженні [2] розроблено схеми теплотехнічних установок із рефлекторами суцільних та фрагментованих форм перерізів, які забезпечують рівномірне опромінення горішньої поверхні приймача напівкруглого перерізу, а також беруть до уваги особливості теплової обробки харчових продуктів. Наступний крок було зроблено в праці [3], в якій результати попереднього дослідження були узагальнені на приймачі теплоти з напівеліптичною формою перерізу.

**Мета та завдання статті.** Визначимо форму фрагментованого рефлектора теплотехнічної системи для всебічного рівномірного опромінення приймача напівеліптичного перерізу (з різним значенням щільності променевого потоку згори та знизу). Дослідження будемо вести у двовимірній постановці.

**Виклад основного матеріалу дослідження.** Розглянемо теплотехнічну систему (рис. 1), яка складається з трубчастого випромінювача 1 (наприклад, КИ-1000), циліндричного відбивача 2 та приймача тепла з напівеліптичною формою горішньої поверхні та пласкою нижньою (позиція 3). Із системою пов'яжемо декартову систему координат так, щоб вісь  $Oz$  пройшла вздовж випромінювача, а осі  $Ox$ ,  $Oy$  розташувалися так, як це показано на рисунку 1.

Будемо використовувати такі позначення:  $h$  – відстань від осі випромінювача до нижньої поверхні приймача,  $\alpha$  – половина кута, в якому поширюються промені, що не потрапляють на рефлектор,  $\theta_0$  – половина кута, в якому поширюються промені, що потрапляють на приймач  $AB$  безпосередньо від випромінювача.

Для позначення полярних координат поверхні перерізу рефлектора застосуємо символи  $R$  та  $\varphi$ , координат горішньої поверхні приймача –  $R_1(\beta)$  та  $\beta$ , а нижньої – декартові координати  $x$  та  $y$ .

Методику визначення профілю рефлектора 2 було розроблено в роботі [3]. Тому в цій розвідці зосередимо увагу на визначенні профілів відбивачів 4 (рис. 1), тобто саме тих, що забезпечуватимуть рівномірне нагрівання робочого тіла 3 знизу. Для цього використаємо тепловий потік, що не потрапляє на приймач ні безпосередньо, ні від рефлектора. Такий підхід до конструкції теплотехнічних установок надасть змогу обробляти харчовий продукт з усіх боків із одночасним зменшенням енерговитрат.

Очевидно, що щільність теплового потоку на горішній поверхні буде в рази перевищувати щільність на нижній, але це співвідношення можна регулювати зміною геометричних параметрів робочої камери (кути  $\alpha$ ,  $\theta_0$ ).

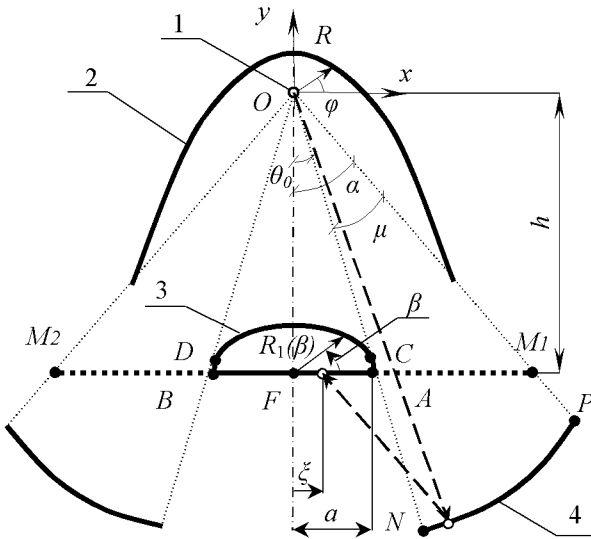


Рисунок 1 – Схема теплотехнічної системи

У подальших дослідженнях зручно користуватися відносними величинами

$$\xi = \frac{x}{a}, \quad \eta = \frac{y}{a}, \quad \chi = \frac{h}{a},$$

де  $a$  – половина ширини пласкої поверхні продукту (рис. 1).

Будемо вважати, що за переміщення точки відбивання теплового променя вздовж поверхні рефлектора від  $N$  до  $P$  в бік зростання полярного кута  $\varphi$  точка, куди потрапляє відбитий промінь, монотонно рухатиметься його нижньою поверхнею від  $F$  до  $A$  у напрямку збільшення координати  $\xi$  (рис. 1).

Будемо проектувати установку таким чином, щоб тепловий потік, що поширюється в будь-якому з кутів  $\mu = \alpha - \theta_0$  (рис. 1), відбивається лише від одного з фрагментів рефлектора і рівномірно опромінює близьчу половину нижньої площини приймача.

Позначимо літерою  $E$  питому потужність теплового потоку від одного метра джерела. Все тепло, що потрапляє на один погонний метр нижньої половини поверхні за одну секунду, дорівнює

$$E_z = \frac{E}{2\pi} \mu .$$

Це тепло рівномірно розподіляється з питомою щільністю

$$q_z(\xi) = \frac{E_z}{a} = \frac{E}{2\pi a} \mu .$$

Таким чином [1], відносна питома щільність опромінення за відсутності прямого опромінення забезпечується променями, відбитими знизу:

$$p_z(\xi) = \frac{q_z(\xi) a}{E} = \frac{1}{2\pi} \mu . \quad (1)$$

Ділянка робочого тіла завдовжки  $\xi$  за секунду отримує таку відбиту енергію:

$$\int_0^\xi q_z(\xi) a d\xi = \int_0^\xi E p_z(\xi) d\xi = E \int_0^\xi p_z(\xi) d\xi . \quad (2)$$

Ця енергія приходить після відбивання в куті  $\varphi + \frac{\pi}{2} - \theta_0$  і дорівнює  $\frac{E}{2\pi} \left( \varphi + \frac{\pi}{2} - \theta_0 \right)$ . Прирівнюючи її до залежності (2), отримаємо

$$\frac{E}{2\pi} \left( \varphi + \frac{\pi}{2} - \theta_0 \right) = E \int_0^\xi p_z(\xi) d\xi .$$

Беручи до уваги (1), отримуємо

$$\varphi = \theta_0 - \frac{\pi}{2} + 2 \pi \int_0^{\xi} p_z(\xi) d\xi = \theta_0 - \frac{\pi}{2} + \int_0^{\xi} \mu d\xi . \quad (3)$$

Відповідно до результатів дослідження [3], для визначення форми рефлектора маємо таке диференціальне рівняння:

$$\frac{d\rho}{d\xi} = -\rho \frac{(\rho_1 - \rho) \cos \varphi + \xi}{(\rho_1 + \rho) \sin \varphi - \eta} \frac{d\varphi}{d\xi} , \quad (4)$$

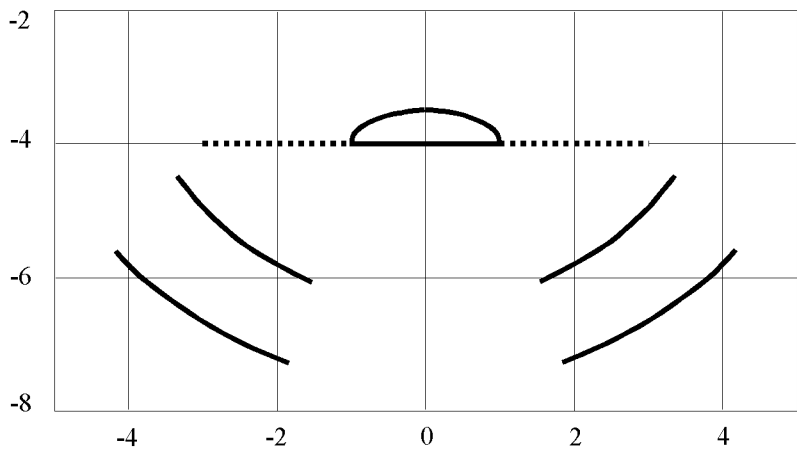
де  $\eta = -\chi$ ,  $\varphi = \varphi(\xi)$ ,  $\rho_1 = \sqrt{(\rho \cos \varphi - \xi_z)^2 + (\rho \sin \varphi - \eta)^2}$ ,  $\rho = R/a$ .

Для визначення форми нижньої частини рефлектора рівняння (4) розв'язувалося за допомогою Mathcad 14 універсальним гібридним методом Адамса-BDF для напівеліпса зі співвідношенням малої осі до великої 0,5 та такими початковими значеннями  $\rho_0$  відносної радіальної координати  $\rho$  за  $\varphi = \theta_0 - \frac{\pi}{2}$ :  $\rho_{01} = 1,25 \rho_{MAX}$ ,  $\rho_{02} = 1,5 \rho_{MAX}$ , де  $\rho_{MAX}$  – відносна відстань від точки  $O$  до точки  $M_1$  (рис. 1). Для інших змінних бралися такі значення:  $\chi = 4$ ,  $M_1 M_2/a = 6$  (рис. 1).

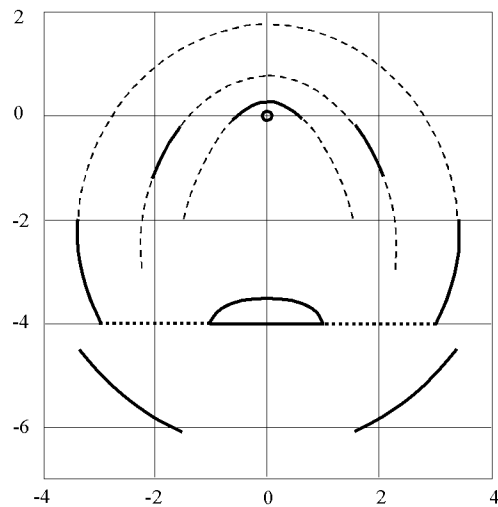
Відповідно до цих результатів розроблено низку фрагментованих рефлекторів. Обґрунтування їх побудови наведено в праці [2]. Фрагментовані рефлектори, які зображені на рис. 2, забезпечують рівномірний тепловий потік на нижній площині теплоприймача.

На рис. 3 наведено фрагментований рефлектор для рівномірного опромінення теплоприймача з напівеліптичною горішньою та пласкою нижньою поверхнями (наприклад, м'ясо на решітці). Для горішньої частини рефлектора використано методику, наведену у праці [3], для напівеліпса зі співвідношенням малої осі до великої 0,5 та такими початковими значеннями  $\rho_0$  відносної радіальної координати  $\rho$  за  $\varphi = \alpha - \frac{\pi}{2}$ :

$\rho_{01} = 0,5 \rho_{MAX}$ ,  $\rho_{02} = 0,75 \rho_{MAX}$ ,  $\rho_{03} = \rho_{MAX}$ . Для нижньої частини взято близкий фрагментований рефлектор з рис. 2.



**Рисунок 2 – Сім'я рефлекторів для рівномірного нагрівання нижньої площини приймача**



**Рисунок 3 – Рефлектор для рівномірного нагрівання напівеліпсу**

**Висновки.** Розроблено методику визначення форм рефлекторів теплотехнічних систем, які забезпечують всебічне рівномірне опромінення напівеліптичного теплоприймача. Методика дозволяє враховувати особливості обробки продуктів, а також запобігти втратам теплового потоку. Метою подальших досліджень стане методика обчислення форм фрагментованих відбивачів для всебічного рівномірного опромінення теплоприймача еліптичного перерізу.

#### *Список літератури*

1. Плевако, В. П. Визначення форми рефлектора для рівномірного опромінювання приймача з круговою формою перерізу [Текст] / В. П. Плевако, С. М. Костенко, І. П. Педорич // Геометричне та комп'ютерне моделювання : зб. наук. пр. / Харківський держ. ун-т харчування і торгівлі. – Харків, 2008. – Вип. 21. – С. 83–90.
2. Плевако, В. П. Рефлектори фрагментованих форм для теплової обробки продукції [Текст] / В. П. Плевако, С. М. Костенко, І. П. Педорич // Прикладна геометрія та інженерна графіка : міжвідомчий наук.-техн. зб. / Київ. нац. ун-т будівництва та архітектури. – К., 2008. – Вип. 80. – С. 259–263.
3. Плевако, В. П. Фрагментований рефлектор для рівномірного опромінювання приймача з напівеліптичною формою перерізу [Текст] / В. П. Плевако, С. М. Костенко, І. П. Педорич // Прогресивна техніка та технології харчових виробництв, ресторанного господарства і торгівлі : зб. наук. пр. / Харківський держ. ун-т харчування і торгівлі. – Харків, 2008. – Вип. 2 (8). – С. 266–275.

Отримано 15.03.2009. ХДУХТ, Харків.  
© С.М. Костенко, 2009.

УДК 66.012.44:663.45

**В.В. Дуб, канд. техн. наук  
С.М. Колчин, магістр**

### **ІНТЕНСИФІКАЦІЯ ПРОЦЕСУ ЗБРОДЖУВАННЯ ПИВНОГО СУСЛА**

*Наведено результаты досліджень особливостей процесів бродіння і доброджування сусла з управлінням у виробництво нової F-чеської раси дріжджів. Розглянуто переваги використання нової раси дріжджів під час виробництва високоякісного пива.*

*Представлены результаты исследований особенностей процессов брожения и дображивания сусла с внедрением в производство новой F-чешской расы дрожжей. Рассмотрены преимущества новой расы дрожжей во время производства высококачественного пива.*